

Магнитные системы ускорителей

И.А.Кооп, кафедра физики ускорителей НГУ

1. Уравнения электромагнитного поля. Единицы измерений.

На практике часто приходится пользоваться как Гауссовой системой единиц CGS так и международной системой единиц SI, поэтому в Таблице 1 основные сведения по электродинамике приведены для обеих этих систем.

Таблица 1. Основные сведения по электродинамике.

Величина	Гауссова система единиц CGS	Система единиц SI
Скорость света, c Заряд, q Потенциал, V	$2.99792458 \times 10^{10} \text{ см/с}$ $2.99792458 \times 10^9 \text{ CGS} - \text{ед.}$ $1/299.792458 \text{ CGS} - \text{ед.}$	$2.99792458 \times 10^8 \text{ м/с}$ $= 1 \text{ Кл} = 1 \text{ А с}$ $= 1 \text{ В} = 1 \text{ Дж/Кл}$
Магнитное поле	$10^4 \text{ Гс} = 10^4 \text{ дин/CGS} - \text{ед.}$	$= 1 \text{ Т} = 1 \text{ Н А}^{-1} \text{ м}^{-1}$
Сила Лоренца	$\mathbf{F} = q \left(\mathbf{E} + \frac{\mathbf{v}}{c} \times \mathbf{B} \right)$	$\mathbf{F} = q(\mathbf{E} + \mathbf{v} \times \mathbf{B})$
Уравнения Максвелла	$\nabla \cdot \mathbf{D} = 4\pi \rho$ $\nabla \times \mathbf{H} - \frac{1}{c} \frac{\partial \mathbf{D}}{\partial t} = \frac{4\pi}{c} \mathbf{j}$ $\nabla \cdot \mathbf{B} = 0$ $\nabla \times \mathbf{E} + \frac{1}{c} \frac{\partial \mathbf{B}}{\partial t} = 0$	$\nabla \cdot \mathbf{D} = \rho$ $\nabla \times \mathbf{H} - \frac{\partial \mathbf{D}}{\partial t} = \mathbf{j}$ $\nabla \cdot \mathbf{B} = 0$ $\nabla \times \mathbf{E} + \frac{\partial \mathbf{B}}{\partial t} = 0$
	$\mathbf{D} = \mathbf{E} + 4\pi \mathbf{P}, \quad \mathbf{H} = \mathbf{B} - 4\pi \mathbf{M}$	$\mathbf{D} = \varepsilon_0 \mathbf{E} + \mathbf{P}, \quad \mathbf{H} = \mathbf{B} / \mu_0 - \mathbf{M}$
Линейные среды Магнитная проницаемость вакуума: Диэлектрическая проницаемость вакуума:	$\mathbf{D} = \varepsilon \mathbf{E}, \quad \mathbf{H} = \mathbf{B} / \mu$ 1 1	$\mathbf{D} = \varepsilon \mathbf{E}, \quad \mathbf{H} = \mathbf{B} / \mu, \quad \mu = \mu_r \mu_0$ $\mu_0 = 4\pi \times 10^{-7} \text{ Н А}^{-2}$ $\varepsilon_0 = 1 / \mu_0 c^2 =$ $= 8.854187817 \dots \times 10^{-7} \text{ Ф/м}$
Выражения для полей через потенциалы:	$\mathbf{E} = -\nabla V - \frac{1}{c} \frac{\partial \mathbf{A}}{\partial t}$ $\mathbf{B} = \nabla \times \mathbf{A}$	$\mathbf{E} = -\nabla V - \frac{\partial \mathbf{A}}{\partial t}$ $\mathbf{B} = \nabla \times \mathbf{A}$
Связь статических полей с потенциалами в Кулоновской калибровке:	$V = \sum_i \frac{q_i}{r_i} = \int \frac{\rho(\mathbf{r}')}{ \mathbf{r} - \mathbf{r}' } d^3 x'$ $\mathbf{A} = \frac{1}{c} \oint \frac{I d\mathbf{l}}{ \mathbf{r} - \mathbf{r}' } = \frac{1}{c} \int \frac{\mathbf{j}(\mathbf{r}')}{ \mathbf{r} - \mathbf{r}' } d^3 x'$	$V = \frac{1}{4\pi \varepsilon_0} \sum_i \frac{q_i}{r_i} = \frac{1}{4\pi \varepsilon_0} \int \frac{\rho(\mathbf{r}')}{ \mathbf{r} - \mathbf{r}' } d^3 x'$ $\mathbf{A} = \frac{\mu_0}{4\pi} \oint \frac{I d\mathbf{l}}{ \mathbf{r} - \mathbf{r}' } = \frac{\mu_0}{4\pi} \int \frac{\mathbf{j}(\mathbf{r}')}{ \mathbf{r} - \mathbf{r}' } d^3 x'$

Преобразования полей из системы отсчета K в систему отсчета K' (\mathbf{v} скорость K' относительно K)	$\mathbf{E}'_{\parallel} = \mathbf{E}_{\parallel}$ $\mathbf{E}'_{\perp} = \gamma \left(\mathbf{E}_{\perp} + \frac{\mathbf{v}}{c} \times \mathbf{B} \right)$ $\mathbf{B}'_{\parallel} = \mathbf{B}_{\parallel}$ $\mathbf{B}'_{\perp} = \gamma \left(\mathbf{B}_{\perp} - \frac{\mathbf{v}}{c} \times \mathbf{E} \right)$	$\mathbf{E}'_{\parallel} = \mathbf{E}_{\parallel}$ $\mathbf{E}'_{\perp} = \gamma (\mathbf{E}_{\perp} + \mathbf{v} \times \mathbf{B})$ $\mathbf{B}'_{\parallel} = \mathbf{B}_{\parallel}$ $\mathbf{B}'_{\perp} = \gamma \left(\mathbf{B}_{\perp} - \frac{\mathbf{v}}{c^2} \times \mathbf{E} \right)$
--	---	--

Уравнения магнитостатики имеют вид:

$$\begin{aligned} \operatorname{rot} \mathbf{H} &= \frac{4\pi}{c} \mathbf{j} \\ \operatorname{div} \mathbf{B} &= 0 \\ \mathbf{B} &= \mu(B) \cdot \mathbf{H} \end{aligned} \quad (1.1)$$

2. Мультипольные разложения двумерных полей

Магнитные или электрические поля зависящие только от двух координат x, y и не зависящие от третьей координаты z в некоторой Декартовой системе координат (x, y, z) , удобно описывать комплексным скалярным потенциалом $W(z)$, или же эквивалентно третьей компонентой $A_z(z)$ векторного потенциала. Будем для определенности всегда говорить о скалярном потенциале.

Как известно, произвольная аналитическая функция комплексной переменной $z = x + iy = re^{i\alpha}$ удовлетворяет двумерному уравнению Лапласа:

$$\Delta_2 W(z) = 0 \quad (1.2)$$

где

$$\Delta_2 = \frac{\partial^2}{\partial x^2} + \frac{\partial^2}{\partial y^2} = \frac{1}{r} \frac{\partial}{\partial r} \left(r \frac{\partial}{\partial r} \right) + \frac{1}{r^2} \frac{\partial^2}{\partial \alpha^2}.$$

Как реальная, так и мнимая части $W(z)$, также удовлетворяющие уравнению Лапласа, с равным успехом могут быть использованы для описания полей в вакууме. И если, скажем, уравнение:

$$\operatorname{Im} W(z) = \text{const}$$

есть уравнение эквипотенциальной кривой, то аналогичное уравнение:

$$\operatorname{Re} W(z) = \text{const}$$

описывает форму силовой линии и наоборот.

Произвольное двумерное поле вне токовой области может быть разложено в ряд по степеням z :

$$W(z) = \sum_{n=0}^{\infty} c_n z^n$$

где $c_n = |c_n| e^{i\varphi_n}$ - коэффициенты разложения по мультиполям. Модуль c_n связан с амплитудой G_n $2n$ -мультиполя ($n=1$ – диполь, $n=2$ – квадруполь, $n=3$ – секступоль и т.д.):

$$|c_n| = G_n / n!$$

а фаза φ_n задает угол поворота мультиполя относительно оси x системы координат. Если фазы $\varphi_n = 0$, то мнимая часть комплексного потенциала описывает поле прямо стоящего мультиполя, а реальная часть соответствует мультиполю повернутому вокруг оси s на угол $\pi/2n$. Для данного случая часто используется термин skew-мультиполь. Выпишем выражения для этих потенциалов как в Декартовой так и в полярной системе координат.

$$W_n = \Psi_n + i\Phi_n = \frac{G_n}{n!} z^n = \frac{G_n}{n!} (x + iy)^n = \frac{G_n}{n!} r^n e^{in\alpha}$$

$$\Phi_n = \frac{G_n}{n!} \operatorname{Im} \left(\sum_{m=0}^n C_n^m x^{n-m} (iy)^m \right) = \frac{G_n}{n!} r^n \sin(n\alpha)$$

$$\Psi_n = \frac{G_n}{n!} \operatorname{Re} \left(\sum_{m=0}^n C_n^m x^{n-m} (iy)^m \right) = \frac{G_n}{n!} r^n \cos(n\alpha)$$

Выпишем также компоненты поля в полярных координатах. Они, как и потенциалы, имеют гармоническую зависимость от угла α :

$$B_r = \frac{G_n}{(n-1)!} r^{n-1} \sin(n\alpha)$$

$$B_\alpha = \frac{G_n}{(n-1)!} r^{n-1} \cos(n\alpha)$$

Таким образом, разложение двумерного поля по мультиполям является степенным по радиусу r и гармоническим по углу α , причем показатель степенной зависимости потенциала от r совпадает с номером гармоники угловой зависимости.

3. Краевые поля магнитов

Двумерная картина полей претерпевает довольно большие изменения на торцах магнитов. Интуитивно ясно, что в нулевом приближении поле $2n$ -мультиполя на краю магнита по-прежнему описывается тем же двумерным комплексным потенциалом, но теперь градиент поля уже должен зависеть от продольной координаты s :

$$W_{n,0}(z, s) = G_n(s) \cdot \frac{z^n}{n!}$$

Но поскольку такой вид потенциала явно не удовлетворяет трехмерному уравнению Лапласа, то должны появиться дополнительные члены с более высокой степенью z ,

которые исправят ситуацию. Перейдем к построению таких недостающих членов, зануляющих трехмерный Лапласиан.

Сделаем формальную замену переменных:

$$z = x + iy$$

$$\bar{z} = x - iy$$

Обратное преобразование:

$$x = \frac{1}{2}(z + \bar{z})$$

$$y = \frac{i}{2}(\bar{z} - z)$$

В переменных z, \bar{z} двумерная часть оператора Лапласа запишется в виде:

$$\Delta_2 \equiv \frac{\partial^2}{\partial x^2} + \frac{\partial^2}{\partial y^2} = 4 \frac{\partial^2}{\partial z \partial \bar{z}}$$

Отсюда следует, что чисто двумерные поля должны описываться комплексной функцией только одной переменной: либо z , либо \bar{z} , чтобы автоматически происходило зануление смешанной производной. Итак, трехмерный оператор Лапласа можно представить в виде:

$$\Delta = 4 \frac{\partial^2}{\partial z \partial \bar{z}} + \frac{\partial^2}{\partial s^2}$$

Будем теперь искать комплексный потенциал в виде степенного разложения, включающего помимо z еще и степени \bar{z} :

$$W_n(z, \bar{z}, s) = \sum_{m=0}^{\infty} W_{n,m}(s) \frac{z^{n+m} \bar{z}^m}{(n+m)! m!}$$

Каждый член данной суммы является n -ой гармоникой угла α , но теперь смешанная производная потенциала по z и \bar{z} не обращается в нуль (при $m > 0$) и, следовательно, двумерная часть Лапласиана может, в принципе, скомпенсировать ненулевую вторую производную по s .

Итак, потребуем выполнения условия:

$$\Delta W(z, \bar{z}, s) = 0$$

Проведя дифференцирования по z, \bar{z}, s , и сгруппировав подобные члены, получим следующее рекуррентное соотношение:

$$W_{n,m}(s) = -\frac{1}{4} W_{n,m-1}^{(n)}(s) \quad m = 1, 2, \dots, \infty$$

Или же:

$$W_{n,m}(s) = \frac{(-1)^m}{4^m} W_{n,0}^{(2m)}(s)$$

Итак, комплексный потенциал $2n$ -го мультиполя на краю магнита можно представить в виде степенного разложения по степеням z, \bar{z} , с коэффициентами $G^{(2m)}(s)$, являющимися четными производными по s от низшего мультипольного градиента $G(s) \equiv G^{(0)}(s)$:

$$W_n(z, \bar{z}, s) = \sum_{m=0}^{\infty} G^{(2m)}(s) \frac{(-1)^m z^{n+m} \bar{z}^m}{4^m (n+m)! m!} = \sum_{m=0}^{\infty} G^{(2m)}(s) \frac{(-1)^m r^{n+2m} e^{in\alpha}}{4^m (n+m)! m!}$$

Последний вариант записи потенциала явно показывает, что, как и в двумерном случае, потенциал является гармонической функцией угла α , с номером гармоники n .

На краю магнита, в местах, где четные производные по s от основного градиента отличны от нуля, добавляются дополнительные члены ряда, содержащие более высокие степени r , а именно степени r^{n+2m} .

Произвольное трехмерное поле прямолинейного магнита естественно может быть представлено в виде суперпозиции бесконечного числа гармонических мультиполей, приведенного выше вида.

а. Краевое поле дипольного магнита с косинусными обмотками.

Сверхпроводящие дипольные магниты ускорителей на высокую энергию (TEVATRON, HERA, RHIC, LHC) сделаны по технологии магнитов с косинусными обмотками. Зависимость плотности тока в таких обмотках от угла α близка к гармонической:

$$j(\alpha) = j_0 \cdot \cos(n\alpha)$$

Поэтому естественно ожидать, что и поле, как в среднем сечении так и на краях такого магнита, сохраняет гармоническую зависимость.

Положив в полученных выше формулах $n=1$ и взяв мнимую часть комплексного потенциала, получим для потенциалов и полей диполя следующие выражения:

$$\begin{aligned}
W(z, \bar{z}, s) &= B(s) \cdot z - B''(s) \frac{z^2 \bar{z}}{4 \cdot 2!} + B''''(s) \frac{z^3 \bar{z}^2}{4^2 \cdot 3! \cdot 2!} - \dots \\
\Phi(x, y, s) &= B(s)y - B''(s) \frac{y(x^2 + y^2)}{4 \cdot 2!} + B''''(s) \frac{y(x^2 + y^2)^2}{4^2 \cdot 3! \cdot 2!} - \dots \\
B_x(x, y, s) &= -B''(s) \frac{xy}{4} + B''''(s) \frac{xy(x^2 + y^2)}{48} - \dots \\
B_y(x, y, s) &= B(s) - B''(s) \frac{x^2 + 3y^2}{8} + B''''(s) \frac{x^4 + 6x^2y^2 + 5y^4}{192} - \dots \\
B_s(x, y, s) &= B'(s)y - B''''(s) \frac{y(x^2 + y^2)}{8} + B''''''(s) \frac{y(x^2 + y^2)^2}{192} - \dots
\end{aligned}$$

Необходимо отметить появление продольной компоненты краевого магнитного поля. В первом приближении ее величина пропорциональна первой производной поля на оси и вертикальной координате y . Как известно, именно наличие продольной компоненты “вываливающегося” поля обеспечивает краевую фокусировку магнитов с косыми краями.

В полярных поперечных координатах все выражения выглядят несколько проще и имеют более наглядную физическую интерпретацию:

$$\begin{aligned}
\Phi(r, \alpha, s) &= \sin(\alpha) \left(B(s)r - B''(s) \frac{r^3}{8} + B''''(s) \frac{r^5}{192} - \dots \right) \\
B_r(r, \alpha, s) &= \sin(\alpha) \left(B(s) - B''(s) \frac{3r^2}{8} + B''''(s) \frac{5r^4}{192} - \dots \right) \\
B_\alpha(r, \alpha, s) &= \cos(\alpha) \left(B(s) - B''(s) \frac{r^2}{8} + B''''(s) \frac{r^4}{192} - \dots \right) \\
B_s(r, \alpha, s) &= \sin(\alpha) \left(B'(s)r - B''''(s) \frac{r^3}{8} + B''''''(s) \frac{r^5}{192} - \dots \right)
\end{aligned}$$

б. Краевое поле дипольного магнита с однородным полем.

Представление краевого поля в виде суперпозиции гармоник не всегда удобно при анализе движения частиц.

Таким примером может служить магнит с не зависящим от x -координаты вертикальным полем.

Предположим, что край магнита с плоскими полюсами настолько широк, что его потенциал и сами компоненты поля не зависят от горизонтальной координаты x . В таком случае рационально использовать разложение скалярного потенциала по нечетным степеням y :

$$\Phi(y, s) = \sum_{m=0}^{\infty} C_{2m+1}(s) \frac{y^{2m+1}}{(2m+1)!}$$

Подставляя это разложение в двумерное уравнение Лапласа:

$$\frac{\partial^2 \Phi}{\partial y^2} + \frac{\partial^2 \Phi}{\partial s^2} = 0$$

и приводя подобные члены с одинаковыми степенями y , получим:

$$C_{2m+1}(s) = -C_{2m-1}(s)$$

Таким образом, потенциал и две компоненты краевого поля магнита с широкими полюсами имеют следующий вид:

$$\Phi(y, s) = \sum_{m=0}^{\infty} (-1)^m B^{(2m)}(s) \frac{y^{2m+1}}{(2m+1)!} = B(s)y - B''(s) \frac{y^3}{6} + B^{(4)}(s) \frac{y^5}{120} - \dots$$

$$B_y(s) = B'(s) - B'''(s) \frac{y^2}{2} + B^{(5)}(s) \frac{y^4}{24} - \dots$$

$$B_s(s) = B''(s)y - B^{(4)}(s) \frac{y^3}{6} + B^{(6)}(s) \frac{y^5}{120} - \dots$$

Нетрудно видеть, что такое разложение представляет собой суперпозицию бесконечного числа гармоник. Действительно, подстановка $y = r \cdot \sin(\alpha)$ позволяет переписать полученные выше формулы в виде ряда по гармоникам α . Далеко от края магнита мы имеем только первую гармонику, а в области спада или нарастания поля имеем все нечетные гармоники угла α .

Ясно, что в рассмотренном выше примере, представление полей в виде ряда по степеням y проще и удобнее чем разложение по гармоникам α . Такое представление в явном виде отражает отсутствие зависимости полей от координаты x . Подробный анализ показал, что приведенное в данном примере представление краевого поля значительно лучше отражает картину поля во всех не косинусных дипольных магнитах, чем представление через одну первую гармонику.

4. Примеры магнитов с водоохлаждаемыми обмотками.

Общий вид фокусирующей линзы триплета накопительного кольца ВЭПП-2000 представлен на рис.1. Основные расчётные параметры приведены в Таблице 1.

Таблица 1. Параметры линзы накопительного кольца ВЭПП-2000.

Градиент поля	5 кГс/см
Магнитная длина	190 мм
Диаметр вписанной окружности	40 мм
Количество витков основной обмотки	29
Номинальный ток	280 А
Напряжение	14.6 В
Мощность потерь	4 кВт
Количество витков обмотки коррекции	400
Номинальный ток обмотки коррекции	4 А

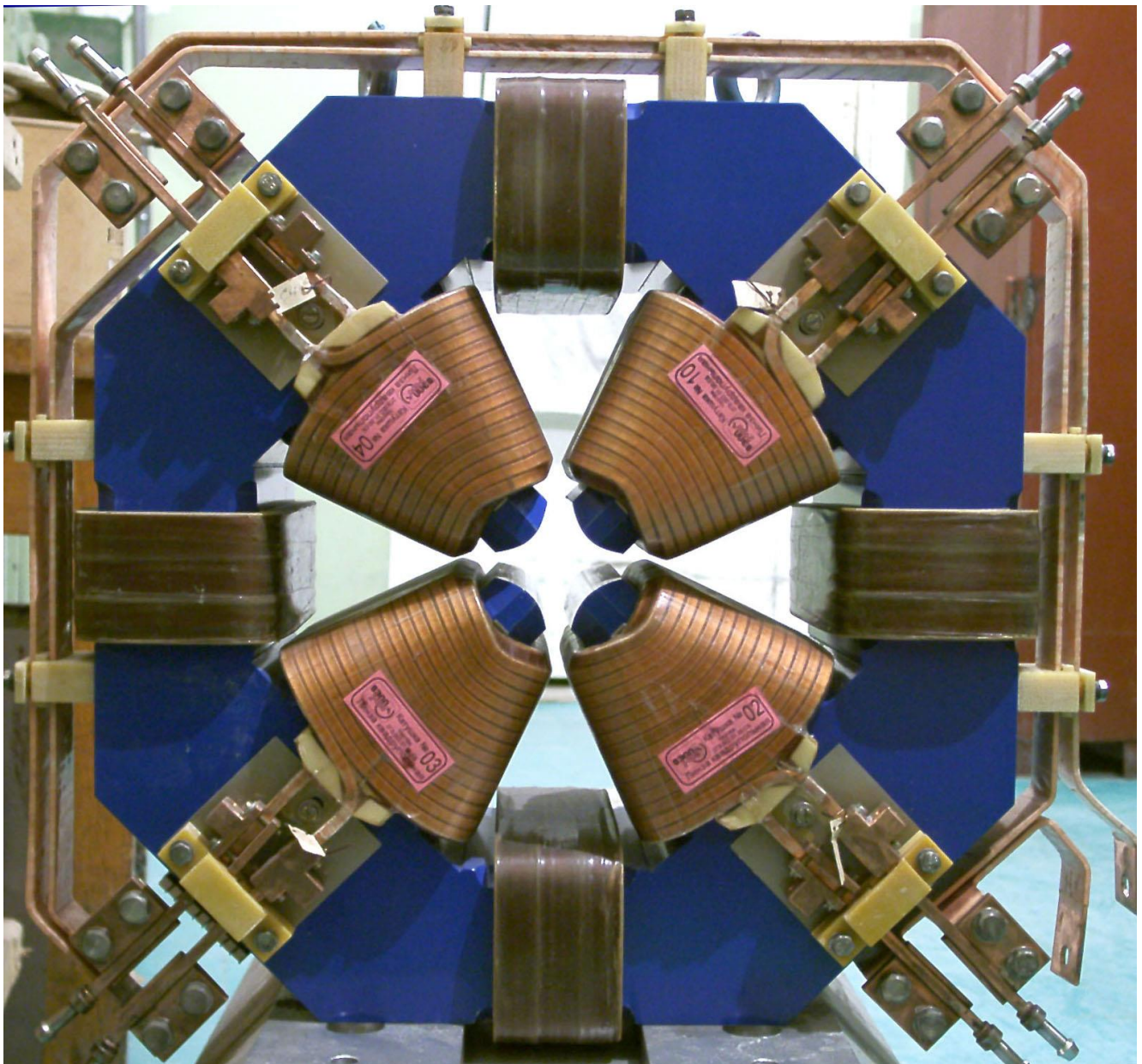
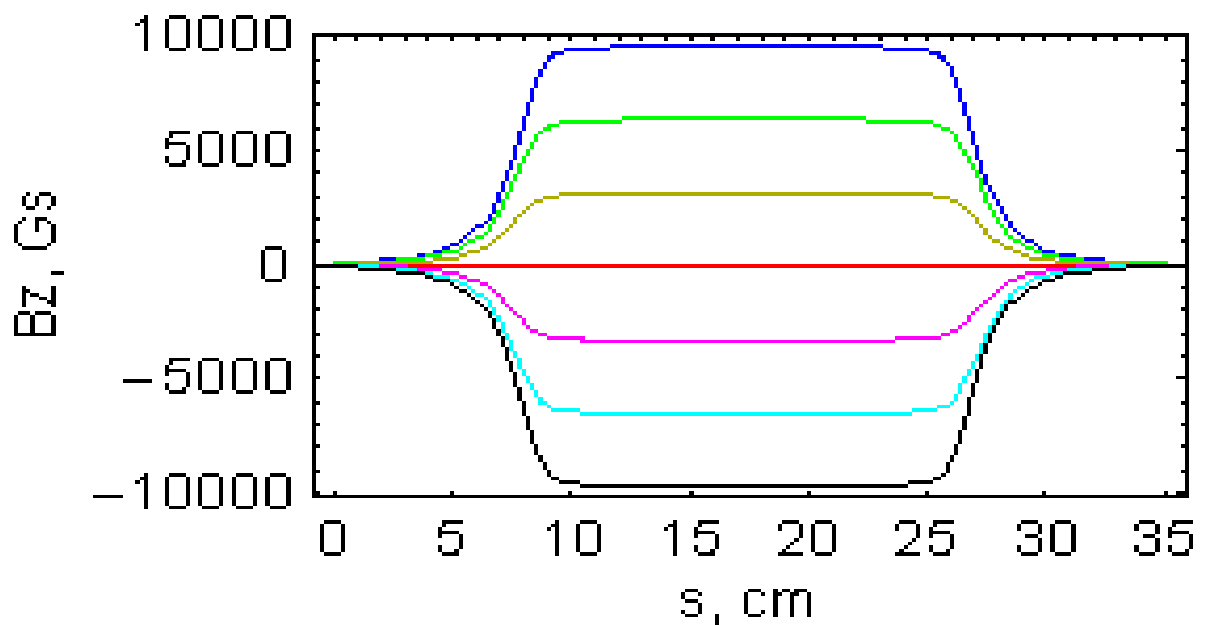


Рис.1 Квадрупольная линза накопителя ВЭПП-2000. Диаметр рабочей апертуры 40 мм.

Магнитные измерения проводились на специальном стенде. Магнитное поле линзы определялось линейкой датчиков Холла. Медная каретка с наклеенными на неё семью датчиками протаскивалась шаговым двигателем вдоль оси линзы. При этом датчики располагались в горизонтальной плоскости, образуя горизонтальную линейку, перпендикулярную оси линзы. Положение датчиков на каретке было определено ранее с точностью не хуже 0.01 мм. Для передвижения каретки строго по оси линзы была изготовлена направляющая в виде закрытого жёлоба, которая закреплялась на полюсах линзы. Таким образом, в результате измерений можно было получить зависимость вертикальной компоненты магнитного поля B_y от горизонтальной координаты x для



любого значения продольной координаты s .

Предварительно датчики Холла были прокалиброваны в дипольном магните с однородным вертикальным полем с помощью ЯМР датчика. Кроме того, перед каждой серией измерений определялись значения тока датчиков Холла при нулевом магнитном поле. Для этой цели каретка помещалась в пермаллоевый экран, исключающий внешнее магнитное поле. Данные калибровки, а также «нули» датчиков в виде файлов использовались управляющей программой HALL.

Программа управляла как источником тока, питающим линзу, так и шаговым двигателем, а также собирала и обрабатывала данные с датчиков Холла. Для каждой линзы было проведено несколько измерений для различных величин тока обмотки. Значения полей семи датчиков с шагом по продольной оси 5 мм записывались в файл для дальнейшей обработки. Примером обработанного файла может служить рис.2.

Рис. 2. Зависимость магнитного поля, измеряемого семью датчиками, от продольной координаты. Ток в обмотках $I = 280$ А.

Для уменьшения значения нелинейности (в основном это додекаполь, т.е. 12-полюсник) было предложено доработать линзу снятием дополнительной фаски (см. фаска 2 на рис.3). Выбранный вариант доработки полюсов линзы позволит подавить нелинейные поправки примерно в 10 раз. Однако новая фаска неизбежно укоротит эффективную длину линзы, что приведёт к снижению интеграла градиента. Для компенсации этого эффекта необходимо увеличить ток в обмотках линзы, расчёт даёт для обеспечения указанного выше интеграла градиента значение тока равное $I = 350$ А. Это приведёт к увеличению потребляемой мощности до $W = 6$ кВт.

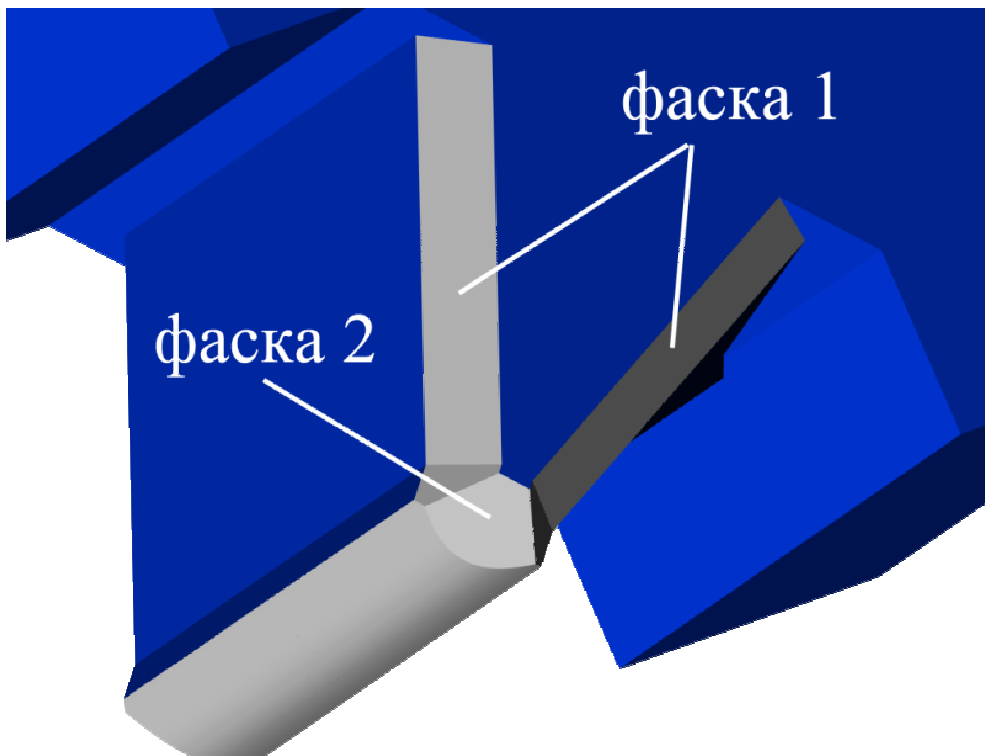


Рис. 3. Полюс линзы с двумя фасками.



Рис.4 Магнитопроводы дипольных магнитов ВЭП-2000 в экспериментальном

производстве ИЯФа.



Рис.5 Дипольный магнит ВЭПП-2000 в сборе.

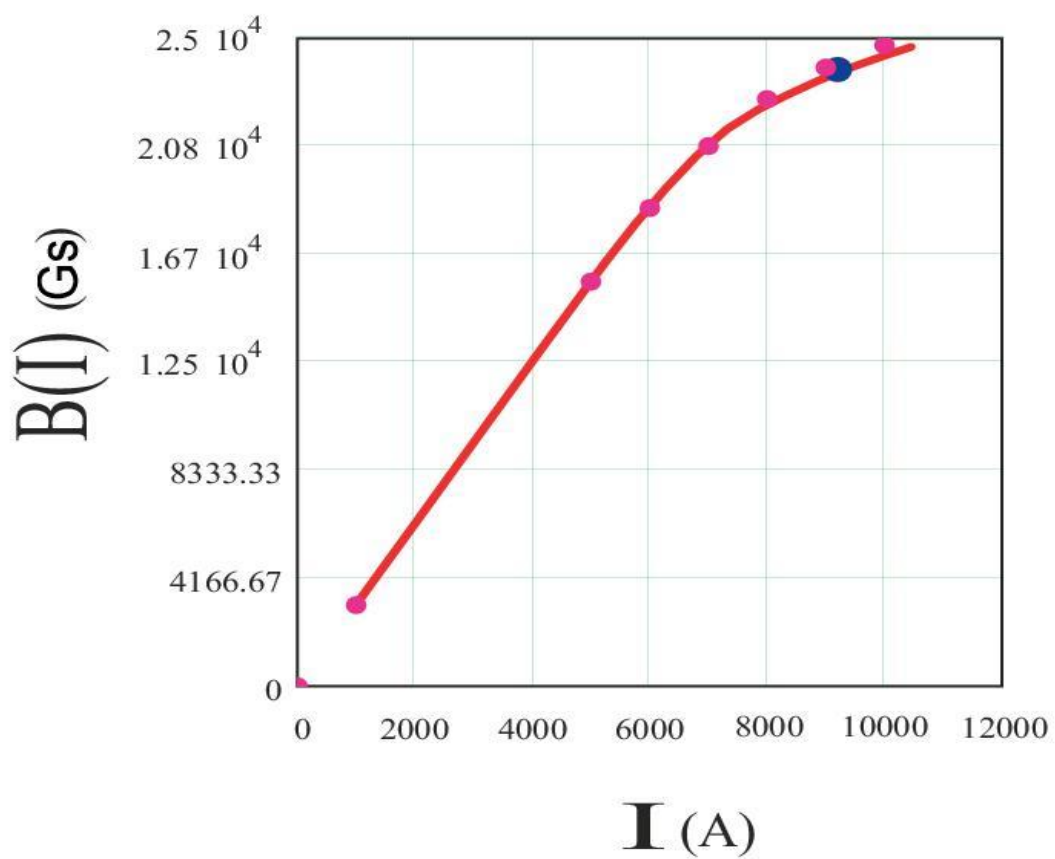


Рис.5 Зависимость поля в межполюсном зазоре магнита ВЭПП-2000 от тока в обмотке.

Таб. 2. Основные характеристики магнита ВЭПП-2000

Угол поворота	<i>45°</i>
Радиус поворота	<i>140 см</i>
Зазор между полюсами	<i>40 мм</i>
Максимальное поле	<i>24.60 кГс</i>
Максимальный ток	<i>10 кА</i>
Число витков в обмотке	<i>5</i>
Стабильность поля	<i>≤ 0.001</i>